

บทที่ 4

คุณลักษณะของจรรยาบรรณความดราติกที่เหมาะสมสำหรับ
ภาพอัลตราซาวน์แบบมีสารเพิ่มความคมชัด

วงจรกรองไวโอลเตอรารามารถแยกกองค์ประกอบเชิงเส้น และองค์ประกอบความเคราะห์ติกจากสัญญาณสะท้อนที่ได้จากการอัลตราซาวนด์ [1] สัญญาณสะท้อนจากสารเพิ่มความคมชัดสำหรับอัลตราซาวนด์มีทั้งความถี่มูลฐานและความถี่สูงอนิก โดยเฉพาะอย่างยิ่งความถี่สูงอนิกอันดับสอง เนื่องจากวงจรกรองความเคราะห์ติกมีความแตกต่างกับวงจรกรองเชิงเส้น ดังนั้นความเข้าใจเกี่ยวกับคุณลักษณะของวงจรกรองความเคราะห์ติกที่เหมาะสม จะเป็นประโยชน์ในการแยกสัญญาณสูงอนิกอันดับสอง เพื่อใช้ปรับปรุงคุณภาพของภาพจากอัลตราซาวนด์ อันได้แก่ ความคมชัดของการเปรียบต่างระหว่างบริเวณเนื้อเยื่อกับบริเวณที่มีสารเพิ่มความคมชัดและความคมชัดเชิงพื้นที่ได้ทั้งสองอย่าง

4.1 ทฤษฎีที่เกี่ยวกับวงจรกรองความดราติก

4.1.1 สเปกตรัม (สองมิติ) ของวงจรกรองความถี่

เนื่องจากสัญญาณสะท้อนจากสารเพิ่มความคมชัดสำหรับอัลตราซาวนด์ มีทั้งองค์ประกอบความถี่มูลฐานและองค์ประกอบความถี่ชาร์มอนิก กำหนดให้สัญญาณสะท้อนแต่ละเส้นคือเวกเตอร์อินพุต $x(n)$ และพิจารณาแบบจำลองของระบบด้วยอนุกรมโวลเตอราอันดับสอง (Second-order Volterra filter) ซึ่งเป็นอนุกรมโวลเตอราที่ตัดให้เหลือเพียงสองพจน์ โดยพิจารณาให้อินพุต และเอาต์พุต รวมทั้งเกอเนล (Kernel) เป็นจำนวนจริง และพิจารณาให้ระบบเป็นแบบคօซอล (Causal system) มีความจำกัด (Finite memory) และคงได้ด้วย [1]

$$y(n) = \sum_{n_1=0}^{N-1} h_1(n_1) x(n-n_1) + \sum_{n_1=0}^{N-1} \sum_{n_2=0}^{N-1} h_2(n_1, n_2) x(n-n_1) x(n-n_2), \quad (4-1)$$

โดยที่ $y(n)$ คือเวกเตอร์เอาต์พุตของอนุกรมไวลเตอร์อันดับสอง, $x(n)$ คือเวกเตอร์อินพุต, $h_1(n_1)$ คือเกอเนเลชันส์, และ $h_2(n_1, n_2)$ คือเกอเนลความถ่วง และ N คือจำนวนสมาชิกของเวกเตอร์อินพุตหรือเอาต์พุต จะเห็นว่าในสมการประกอบด้วยสองพจน์ คือพจน์แรกเป็นพจน์

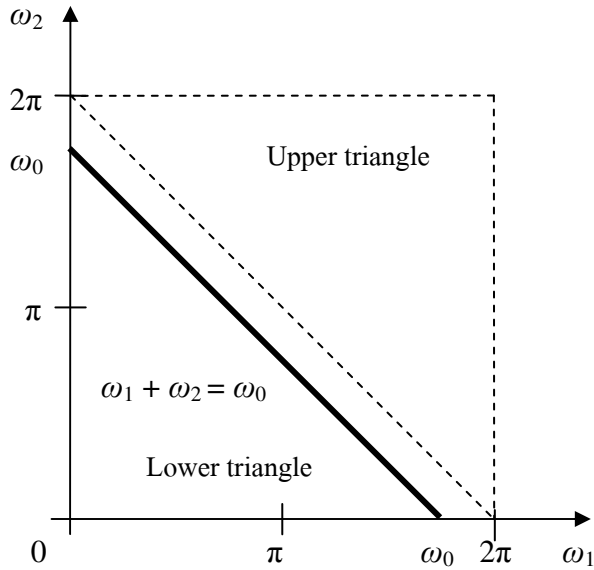
เชิงเส้นซึ่งเรียกว่าเป็นวงจรกรองเชิงเส้น และพจน์ที่สองคือพจน์ความตราติก ซึ่งจะนิยามให้เป็นวงจรกรองโวลาเตอร์ควบคุมแบบโซโนมีนัส เพื่อความสะดวกจึงเรียกอย่างกะทัดรัดว่าวงจรกรองความตราติก แสดงได้ด้วย

$$y_2(n) = \sum_{n_1=0}^{N-1} \sum_{n_2=0}^{N-1} h_2(n_1, n_2) x(n-n_1) x(n-n_2), \quad (4-2)$$

โดยที่ $y_2(n)$ คือเวกเตอร์เอาต์พุต, $x(n)$ คือเวกเตอร์อินพุต ซึ่งเป็นสัญญาณสะท้อนแต่ละเส้นที่ได้จากอัคตราชานด์ และ $h_2(n_1, n_2)$ คือเคอนเนลความตราติก เราสามารถหาสเปกตรัมของเอาต์พุต $y_2(n)$ ได้จาก [2-3]

$$\begin{aligned} Y_2(e^{j\omega}) &= \frac{1}{2\pi} \int_0^{2\pi} \int_0^{2\pi} Y_2^*(e^{j\omega_1}, e^{j\omega_2}) d\omega_1 d\omega_2 \\ &= \frac{1}{2\pi} \int_0^{2\pi} \int_0^{2\pi} H_2(e^{j\omega_1}, e^{j\omega_2}) X^*(e^{j\omega_1}, e^{j\omega_2}) d\omega_1 d\omega_2 \\ &= \frac{1}{2\pi} \int_0^{2\pi} H_2(e^{j\omega_1}, e^{j(\omega-\omega_1)}) X(e^{j\omega_1}) X(e^{j(\omega-\omega_1)}) d\omega_1 \end{aligned} \quad (4-3)$$

ภายใต้เงื่อนไข $\omega_1 + \omega_2 = \omega$ โดยที่ $Y_2(e^{j\omega})$ คือสเปกตรัมเอาต์พุตของ $y_2(n)$, $X(e^{j\omega})$ คือสเปกตรัมของสัญญาณอินพุต หาได้จากการแปลงฟูเรียร์เติมหน่วยของ $x(n)$, และ $H_2(e^{j\omega_1}, e^{j\omega_2})$ คือผลตอบสนองความถี่ความตราติกของวงจรกรองความตราติกซึ่งจากสมการ (4-3) จะเห็นว่าองค์ประกอบ $Y_2(e^{j\omega})$ ที่ความถี่คงที่ค่าหนึ่ง ω_0 สามารถหาได้ด้วยการอินทีเกรต $Y_2^*(e^{j\omega_1}, e^{j\omega_2})$ ในแนวเส้นทแยง $\omega_1 + \omega_2 = \omega_0$ และการหาสเปกตรัมเอาต์พุตจะกระทำโดยด้านเดียวล่างหรือด้านบนของภาพประกอบ 4-1 อย่างโดยย่างหนึ่งเท่านั้น นั่นคือถ้าให้สเปกตรัมเอาต์พุตที่ได้จากการอินทีเกรตตลอดสามเหลี่ยมล่างคือ $Q(e^{j\omega})$ สเปกตรัมเอาต์พุตที่ได้จากการอินทีเกรตตลอดสามเหลี่ยมบนจะเป็น $Q^*(e^{j(2\pi-\omega)})$ (โดยการพลิกແลี้ว์เลี้อนในแนวแกน ω ไป 2π แล้วจึงหาค่าอนุเกตเชิงช้อน) เนื่องจากสเปกตรัมที่ได้จะเกิดขึ้นช้า ๆ กันเป็นคานดังกล่าว ดังนั้นการหาสเปกตรัมที่ช่วงความถี่อื่นสามารถหาได้จากสเปกตรัมเอาต์พุตช่วง 0 ถึง 2π ที่หาได้ในนั้นเอง



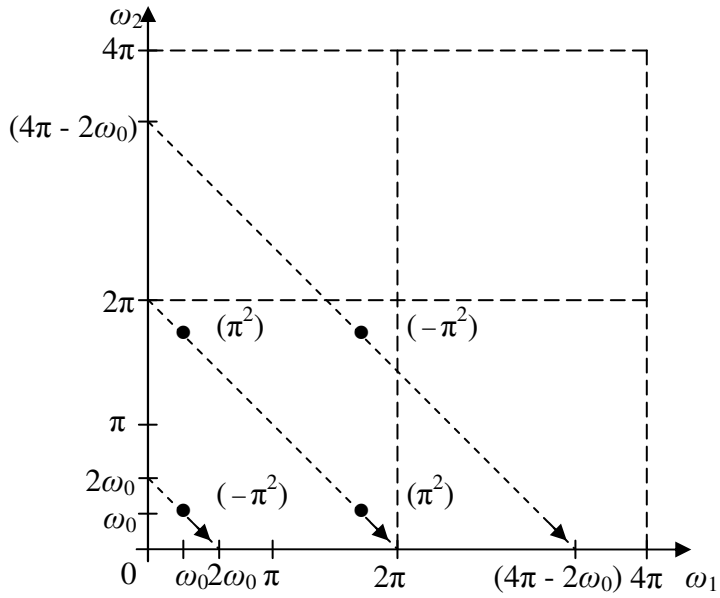
ภาพประกอบ 4-1 การอธิบายสเปกตรัมເອາົ້າພຸດຂອງວຽກຮອງຄວອດຮາຕິກຕໍ່ວຽແພນການ

พิจารณาตัวอย่างระบบยกกำลังสอง $y_2(n) = x^2(n)$ โดยໃຫ້ອິນພູດ $x(n) = \sin(\omega_0 n)$ ເອາົ້າພຸດຂອງຮະບບື້ອ $y_2(n) = \sin^2(\omega_0 n) = [1 - \cos(2\omega_0 n)]/2$ ສາມາດ
ຫາສເປັກຕິກຕົວອິນພູດໄດ້ວ່າ $X(e^{j\omega}) = -j\pi\delta(\omega - \omega_0) + j\pi\delta(\omega - 2\pi + \omega_0)$ ແລະຜົດຕອບສາມາດ
ຄວາມຖີ່ຄວອດຮາຕິກຂອງອິນພູດກັບ

$$\begin{aligned} X(e^{j\omega_1})X(e^{j\omega_2}) &= -\pi^2\delta(\omega_1 - \omega_0, \omega_2 - \omega_0) \\ &\quad - \pi^2\delta(\omega_1 - 2\pi + \omega_0, \omega_2 - 2\pi + \omega_0) \\ &\quad + \pi^2\delta(\omega_1 - \omega_0, \omega_2 - 2\pi + \omega_0) \\ &\quad + \pi^2\delta(\omega_1 - 2\pi + \omega_0, \omega_2 - \omega_0) \end{aligned}$$

ແລະຈະໄດ້ຂັດຂອງການແປລັງຟິຣີບີ່ສໍາຫຼັບອິນພູດກັບ

$$|X(e^{j\omega})| = \pi [\delta(\omega - \omega_0) + \delta(\omega - 2\pi + \omega_0)]$$



ภาพประกอบ 4-2 ผลตอบสนองความถี่ของตราดิกรอยเอาร์พุตบนระนาบ (ω_1, ω_2)

$$Y_2(e^{j\omega_1}, e^{j\omega_2}) = H_2(e^{j\omega_1}, e^{j\omega_2}) X(e^{j\omega_1}) X(e^{j\omega_2}) = X(e^{j\omega_1}) X(e^{j\omega_2}) [2]$$

สำหรับเรื่องเอาร์พุตคือ

$$|Y_2(e^{j\omega})| = \pi \left[\delta(\omega) + \frac{1}{2} \delta(\omega - 2\omega_0) + \frac{1}{2} \delta(\omega - 2\pi + 2\omega_0) \right]$$

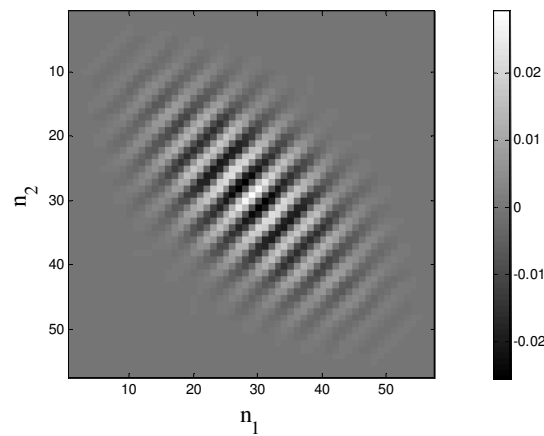
โดยที่ $0 \leq \omega \leq 2\pi$ จะเห็นว่าองค์ประกอบความถี่ของอินพุตที่ความถี่ ω_0 และ $2\pi - \omega_0$ หายไปจากเอาร์พุต แต่องค์ประกอบความถี่ของเอาร์พุตจะมีที่ความถี่ $0, 2\omega_0$ และ $2\pi - 2\omega_0$ นั้นคือ เมื่อพิจารณาให้ระบบเป็นอิมพัลส์หนึ่งหน่วย ($h_2(n_1, n_2) = \delta(n_1, n_2)$) จะได้ $H_2(e^{j\omega_1}, e^{j\omega_2}) = 1$ ดังนั้น $Y_2(e^{j\omega_1}, e^{j\omega_2}) = X(e^{j\omega_1}) X(e^{j\omega_2})$ สามารถแสดงอิมพัลส์ได้ 4 จุด จาก 0 ถึง 2π ดังภาพประกอบ 4-2 ซึ่งแต่ละองค์ประกอบหาได้จากการอินทิเกรตตามเส้นตรง $\omega_1 + \omega_2 = \omega$ สำหรับองค์ประกอบ $\delta(\omega_1 - \omega_0, \omega_2 - \omega_0)$ อยู่บนเส้นตรง $\omega_1 + \omega_2 = 2\omega_0$ สัญญาณเอาร์พุตจึงมีองค์ประกอบแรกที่ความถี่ $2\omega_0$ (มีค่าเท่ากับ $-\pi^2$) ทำนองเดียวกันองค์ประกอบ $\delta(\omega_1 - \omega_0, \omega_2 - 2\pi + \omega_0)$ และ $\delta(\omega_1 - 2\pi + \omega_0, \omega_2 - \omega_0)$ อยู่บนเส้นตรง $\omega_1 + \omega_2 = 2\pi$ ดังนั้นองค์ประกอบที่สองของสัญญาณเอาร์พุตจึงมีความถี่เท่ากับศูนย์ (ความถี่ 0 สมมูลกับความถี่ 2π) ซึ่งมีค่าเป็นสองเท่าขององค์ประกอบแรก (มีค่าเท่ากับ $\pi^2 + \pi^2 = 2\pi^2$) นอกจากนี้

องค์ประกอบสุดท้ายคือ $\delta(\omega_1 - 2\pi + \omega_0, \omega_2 - 2\pi + \omega_0)$ อุปนิสัยตรง $\omega_1 + \omega_2 = 4\pi - 2\omega_0$ ทำให้สัญญาณเอาต์พุตมีองค์ประกอบที่สามอยู่ที่ความถี่เท่ากับ $4\pi - 2\omega_0$ (มีค่าเท่ากับ $-\pi^2$) ซึ่งสมมูลกับความถี่ $2\pi - 2\omega_0$ นั่นเอง ดังนั้นสำหรับระบบยกกำลังสอง $y_2(n) = x^2(n)$ เป็นตัวอย่างหนึ่งของวงจรกรองความถี่โดยเก็บเนลของระบบเป็นอิมพัลส์หนึ่งหน่วยตรงตามที่กำหนดไว้คือ $h_2(n_1, n_2) = \delta(n_1, n_2)$

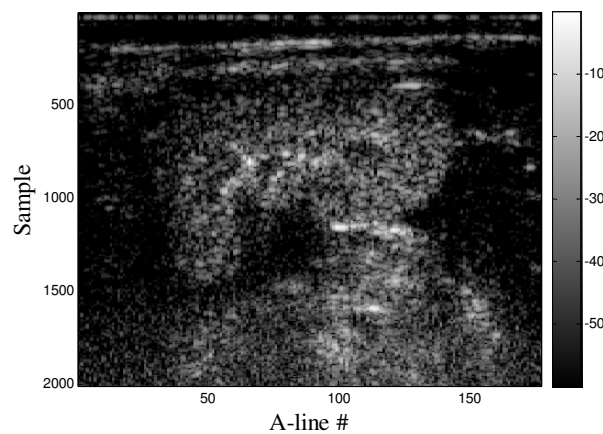
4.2 คุณลักษณะทางความถี่ของสัญญาณสะท้อนจากสารเพิ่มความชัดที่ได้จากการกรองความถี่: กรณีศึกษา

4.2.1 วัสดุที่ใช้และวิธีการเก็บข้อมูล

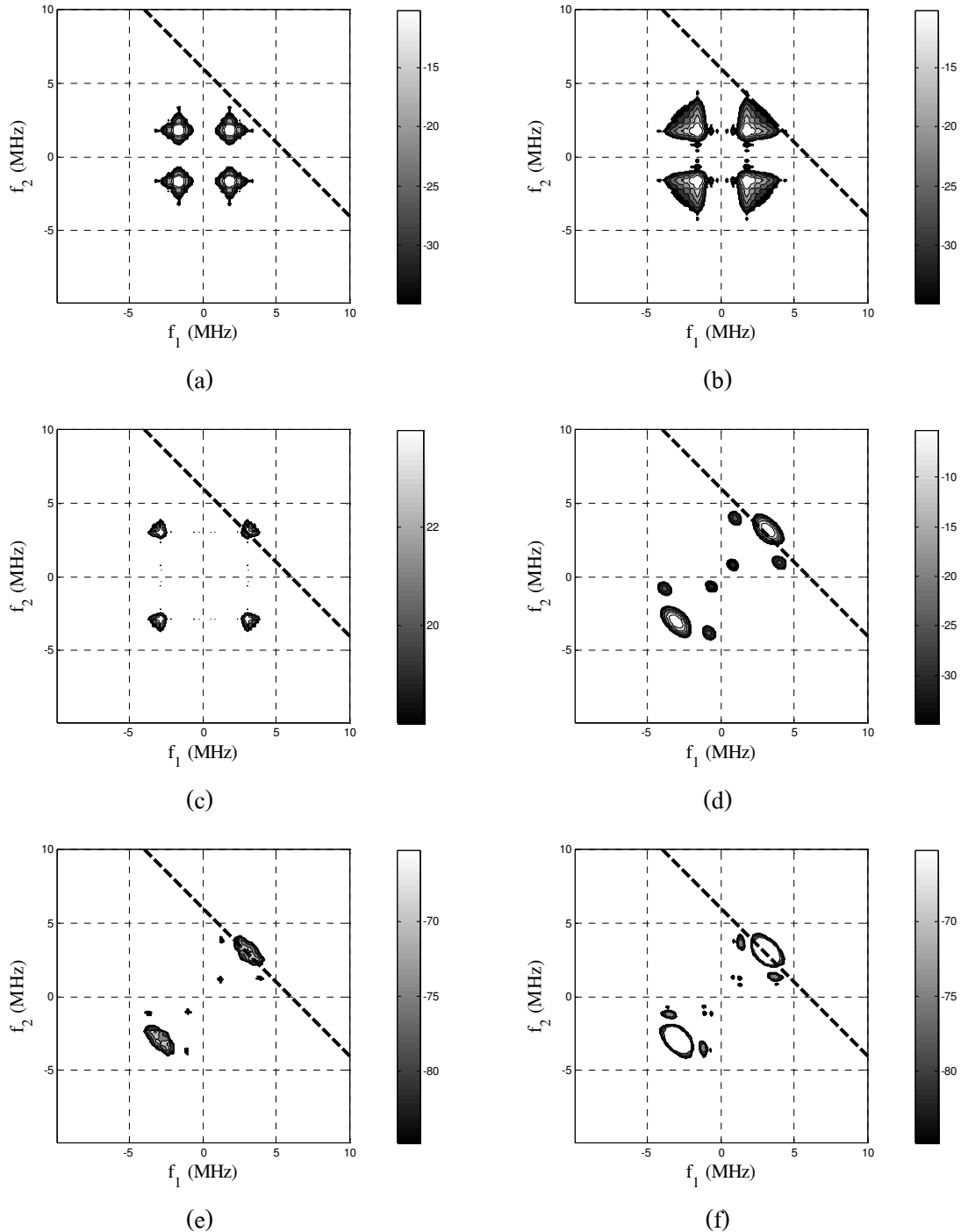
วัสดุที่ใช้และวิธีการเก็บข้อมูล อันได้แก่ ข้อมูลยัลตราเซาน์ดของไตรามูที่ใช้วิธีการหาสเปกตรัมกำลังและสเปกตรัมกำลังเฉลี่ยของบริเวณอ้างอิง 2 บริเวณ รวมทั้งการวัดค่าความชัดของการเปรียบต่างในเชิงปริมาณของภาพจากอัลตราเซาน์ด ได้มาจากการหัวข้อ 3.2.2



ภาพประกอบ 4-3 เอกอเนกความถ่วงคราติกที่เหมาะสมกับการแยกสัญญาณสาร์มอนิก [3]



ภาพประกอบ 4-4 ภาพไตรามูลังจากผ่านวงจรกรองความถ่วงคราติกที่ได้จากการแก้ระบบสมการ
เชิงเส้น และคงตัวยาระดับโภนสีจากขาวถึงดำ 60 dB ($CTR = 22.0 \text{ dB}$) [3]



ภาพประกอบ 4-5 ผลตอบสนองความถี่บนระนาบ (ω_1, ω_2) (a) $|X_{TS}(e^{j\omega_1})X_{TS}(e^{j\omega_2})|$,

(b) $|X_{CT}(e^{j\omega_1})X_{CT}(e^{j\omega_2})|$, (c) $\frac{|X_{CT}(e^{j\omega_1})X_{CT}(e^{j\omega_2})|}{|X_{TS}(e^{j\omega_1})X_{TS}(e^{j\omega_2})|}$, (d) $|H_2(e^{j\omega_1}, e^{j\omega_2})|$, (e)

$|H_2(e^{j\omega_1}, e^{j\omega_2})||X_{TS}(e^{j\omega_1})X_{TS}(e^{j\omega_2})|$, (f) $|H_2(e^{j\omega_1}, e^{j\omega_2})||X_{CT}(e^{j\omega_1})X_{CT}(e^{j\omega_2})|$

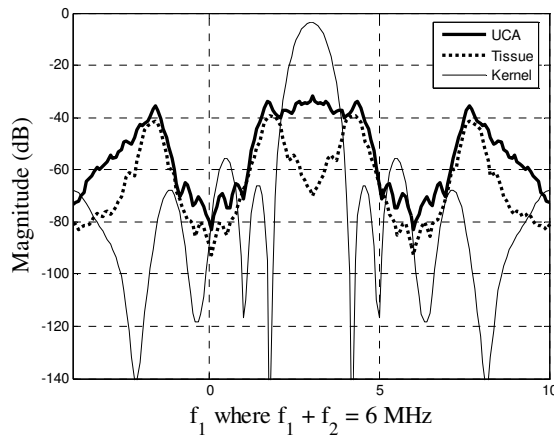
เส้นประแนวนี้ในระนาบคือสมการ $f_1 + f_2 = 6 \text{ MHz}$

4.2.2 ผลการทดลองและการวิจารณ์

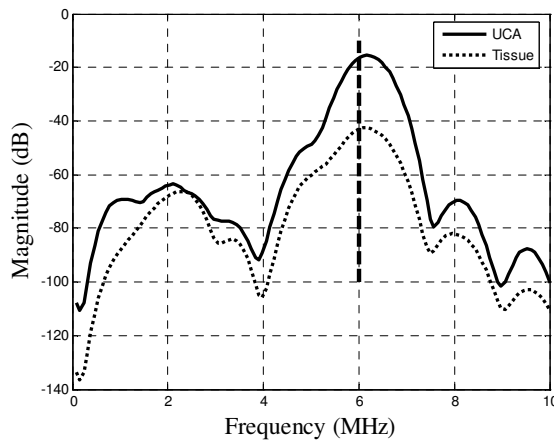
ภาพอัลตราซาวนด์ของไทด์หมูและสเปกตรัมเฉลี่ยของสัญญาณบริเวณเนื้อเยื่อกับบริเวณที่มีสารเพิ่มความคมชัดสำหรับอัลตราซาวนด์ นำมาจากหัวข้อ 3.2.2

เคอนเนลค่าօดรაติกที่เหมาะสมกับการแยกสัญญาณาร์มอนิก [1], [3] ซึ่งได้จากการแก้สมการโดยใช้กรรมวิธีการแยกค่าเอกฐาน (Singular value decomposition) แล้วแทนโดยการทำงานทั้งหมดที่เป็นไปได้ เพื่อหาภาพที่มีคุณภาพที่ดีที่สุด แสดงดังภาพประกอบ 4-3 จะเห็นว่ามีความสมมาตรตามเส้นทแยงมุมหลัก (Diagonal line) ด้วย เมื่อนำงจรกรองค่าօดรัติก ของสัญญาณาร์มอนิกอันดับสอง แล้วแสดงเป็นภาพ Gray scale โดยมีความแตกต่างของระดับโทนสีจากขาวถึงดำ (Gray level) 60 dB ดังภาพประกอบ 4-4 ซึ่งมีค่า CTR เท่ากับ 22.0 dB จากภาพประกอบ 4-4 จะเห็นได้ว่างจรกรองค่าօดรัติกสามารถปรับปรุงคุณภาพของภาพจากอัลตราซาวนด์ทั้งความคมชัดของการเปรียบต่างและความคมชัดเชิงพื้นที่

ผลตอบสนองความถี่ค่าօดรัติกของสัญญาณสะท้อนสำหรับบริเวณเนื้อเยื่อ และบริเวณที่มีสารเพิ่มความคมชัดสำหรับอัลตราซาวนด์ แสดงได้ดังภาพประกอบ 4-5(a) และ 4-5(b) ตามลำดับ เมื่อหาราคาส่วนของสัญญาณจากสารเพิ่มความคมชัดต่อเนื้อเยื่อ (Ratio of contrast-to-tissue magnitude) นั่นคือ $|X_{CT}(e^{j\omega_1})X_{CT}(e^{j\omega_2})| / |X_{TS}(e^{j\omega_1})X_{TS}(e^{j\omega_2})|$ ดังภาพประกอบ 4-5(c) จะเห็นว่ามีพื้นที่ที่อัตราส่วนมีค่ามากกว่าส่วนอื่น ๆ มีอยู่ 4 บริเวณ ดังนั้นวงจรกรองค่าօดรัติกที่เหมาะสมต้องสามารถผ่านความถี่ในบริเวณดังกล่าวได้ แต่เนื่องจากความถี่ของาร์มอนิกอันดับสอง (f_2) มีค่าประมาณ 3 MHz และการอินทีเกรตต้องทำในแนวเนี้ยง ซึ่งแสดงได้ด้วยเส้นประหนาสำหรับแต่ละรูป ดังนั้นผลตอบสนองความถี่ของเคอนเนลค่าօดรัติก (ต้องมีความสมมาตร) จึงมีค่าสูงในระนาบความถี่ ณ จุดดังกล่าว ดังภาพประกอบ 4-5(d) ผลตอบสนองความถี่ค่าօดรัติกของบริเวณเนื้อเยื่อและบริเวณที่มีสารเพิ่มความคมชัดสำหรับอัลตราซาวนด์หลังจากผ่านการกรองด้วยวงจรกรองค่าօดรัติก แสดงไว้ในภาพประกอบ 4-5(e) และ 4-5(f) ตามลำดับ



ภาพประกอบ 4-6 ผลตอบสนองความถี่ความดราติก ตามเส้นตรง $f_1 + f_2 = 6 \text{ MHz}$ ของบริเวณเนื้อเยื่อ $\left| X_{TS}^o \left(e^{j\omega_1}, e^{j\omega_2} \right) \right|$ (เส้นประ), บริเวณที่มีสารเพิ่มความคงชัด $\left| X_{CT}^o \left(e^{j\omega_1}, e^{j\omega_2} \right) \right|$ (เส้นทึบหนา) และเกอเนลความดราติก $\left| H_2 \left(e^{j\omega_1}, e^{j\omega_2} \right) \right|$ (เส้นทึบบาง) โดยที่ $\omega = 2\pi \times 6 \text{ MHz}$



ภาพประกอบ 4-7 สเปกตรัมเอาต์พุต $\left| Y_2 \left(e^{j\omega} \right) \right|$ ของบริเวณเนื้อเยื่อ (เส้นประ) และบริเวณที่มีสารเพิ่มความคงชัดสำหรับอัลตราซาวนด์ (เส้นทึบ)

เมื่อพิจารณาผลตอบสนองความถี่ความต่ำที่ความถี่ $f = 6 \text{ MHz}$ (ตามเส้นตรง $f_1 + f_2 = 6 \text{ MHz}$) สเปกตรัมอินพุตความต่ำของบริเวณเนื้อเยื่อ ($|X_{TS}^o(e^{j\omega_1}, e^{j\omega_2})|$ เส้นประหนา) บริเวณที่มีสารเพิ่มความคงชัดสำหรับอัลตราซาวน์ ($|X_{CT}^o(e^{j\omega_1}, e^{j\omega_2})|$ เส้นทึบหนา) และเกอเนลความต่ำ ($|H_2(e^{j\omega_1}, e^{j\omega_2})|$ เส้นทึบบาง) แสดงดังภาพประกอบ 4-6 จะเห็นว่าเกอเนลความต่ำ มีค่าสูงที่ความถี่ $f_1 = 3 \text{ MHz}$ เพื่อผ่านสัญญาณ harmonic อนิจฉันดับสอง ซึ่งสเปกตรัมอินพุตของสัญญาณในบริเวณที่มีสารเพิ่มความคงชัดสำหรับอัลตราซาวน์ค้มีค่าสูงกว่าบริเวณเนื้อเยื่อในนั้นเอง

สเปกตรัมເອົາຕີພຸດຂອງບຣິເວັນເນື້ອເຢື່ອ ແລະບຣິເວັນທີມີສາຮັບພຶກສະນູນ
ສໍາຫຼັບອັດຕະກາວນົດ ຫ້າໄດ້ໂດຍກາຮັບອືນທີເກຣດຕາມເສັ້ນຕຽງ $f_1 + f_2 = f$ MHz ຂອງພຸດຕອບສະນອງ
ຄວາມຄື່ງຄວາດຮາຕິກຂອງບຣິເວັນເນື້ອເຢື່ອ ແລະບຣິເວັນທີມີສາຮັບພຶກສະນູນ
ກີ່ອກາພປະກອບ 4-5(e) ແລະ 4-5(f) ແລ້ວແສດງໄວ້ໃນກາພປະກອບ 4-7 ດ້ວຍເສັ້ນປະກຳແລະເສັ້ນທີ່
ຕາມລຳດັບ ສໍາຫຼັບສປັກຕົມເອົາຕີພຸດທີ່ຄວາມຄື່ງ $f = 6$ MHz (ຜ ຕໍາແໜ່ນເສັ້ນປະກຳທີ່
ກາພປະກອບ 4-7) ຫ້າໄດ້ຈາກກາຮັບອືນທີເກຣດຕາມເສັ້ນຕຽງ $f_1 + f_2 = 6$ MHz ທີ່ສອດຄລູ້ງກັນເສັ້ນປະກຳ
ທີ່ໃນຮູ້ພຸດຕອບສະນອງຄວາມຄື່ງຄວາດຮາຕິກຂອງບຣິເວັນເນື້ອເຢື່ອ $|X_{TS}(e^{j\omega_1}, e^{j\omega_2})|$ ແລະບຣິເວັນທີ່ມີ
ສາຮັບພຶກສະນູນ $|X_{CT}^*(e^{j\omega_1}, e^{j\omega_2})|$ ຂອງກາພປະກອບ 4-5(e) ແລະ 4-5(f) ຕາມລຳດັບ

๗๖

คุณลักษณะของจรรยาบรรณความดีที่เหมาะสมจะต้องมีอัตราขยายขนาดสูง ตรงบริเวณที่อัตราส่วนขนาดของสัญญาณจากสารเพิ่มความคมชัดต่อเนื้อเยื่อมีค่าสูง ในบทดัดไป หากสิ่งที่เรียนรู้ต้องออกแบบขนาดของผลตอบสนองความถี่ความดีควรตัดให้มีจุดศูนย์กลางตรง ตำแหน่งที่มีอัตราส่วนดังกล่าวสูงนั่นเอง

เอกสารอ้างอิง

- [1] P. Phukpattaranont, "Post-Beamforming Second-Order Volterra Filters for Pulse-echo Ultrasonic Imaging," *IEEE Trans. Ultrason., Ferroelect., Freq. Contr.*, vol. 50, no. 8, pp. 987-1001, Aug. 2003.
 - [2] S. K. Mitra and G. L. Sicuranza, "Nonlinear Image Processing," Academic Press, USA, pp. 167-202, 2001.

- [3] P. Phukpattaranont and K. Chetpattananondh, “Post-Beamforming Second-Order Volterra Filters for Contrast Agent Imaging: A Frequency-Domain Aspect,” in *Proc. Symp. Ultraso. Electron.*, Nov. 2005, vol. 26, pp. 281-282.